PLANCHES

PLANCHE I

EXPLICATION DES FIGURES.

Habitats au Parc National Albert.

FIG. 1. — La rive partiellement desséchée du lac Édouard, à Katanda, au Sud de l'embouchure de la rivière Ishasha. Sable nu et croûtes de sel caractérisent ce biotope, où *Charadrius marginatus* nichait. 15 janvier 1959.

Photo: K. CURRY-LINDAHL.

FIG. 2. — Les marais de Rukanbura (zone de Kasoso), au Sud de l'embouchure de la rivière Ishasha au lac Édouard. Nappe flottante à *Pistia stratiotes*; à gauche, *Typha angustifolia*; à l'arrière-plan, des massifs de cypéracées; devant ceux-ci, à gauche, un *Balaeniceps rex*, trouvé pour la première fois au Parc National Albert. 15 janvier 1959.

Photo: K. CURRY-LINDAHL.

FIG. 1. — Rive du lac Édouard à Katanda.

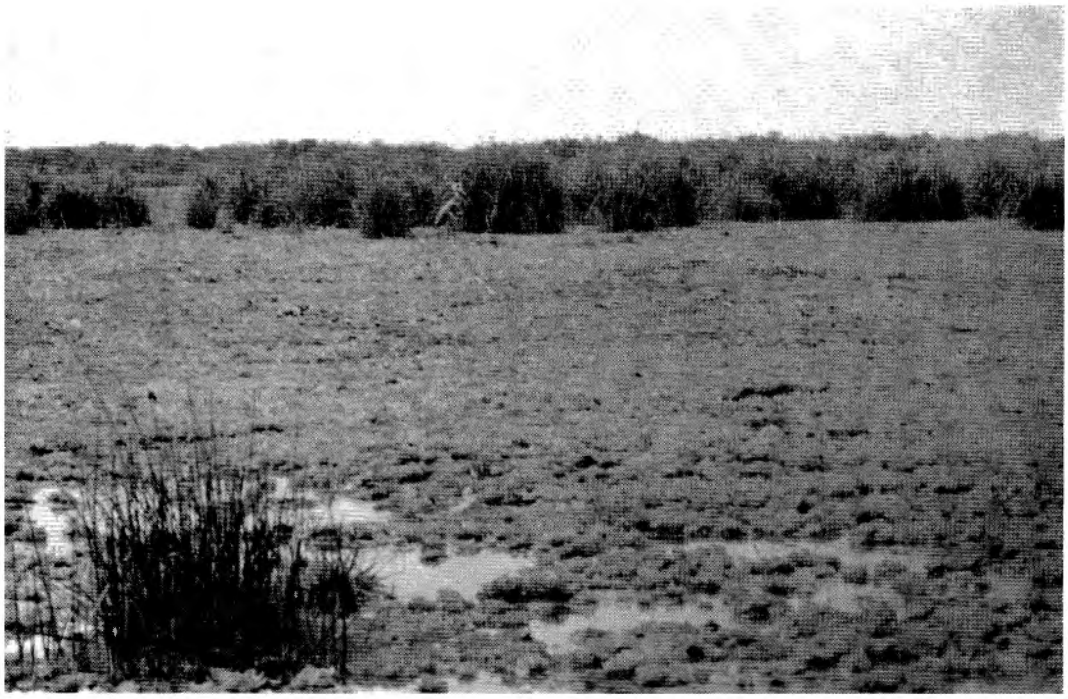

FIG. 2. — Les marais de Rukanbura au lac Édouard.
Pistia stratiotes, *Typha angustifolia* et des cypéracées.
Balaeniceps rex dans le fond, un peu à gauche.

PLANCHE II

EXPLICATION DES FIGURES.

Habitats au Parc National Albert.

FIG. 3. — La rive du lac Édouard à Vitshumbi. *Panicum repens*, herbe courte recherchée comme nourriture par *Hippopotamus amphibius*. A gauche, un *Leptoptilos crumeniferus*. 4 février 1959.

Photo : K. CURRY-LINDAHL.

FIG. 4. — Piste d'*Hippopotamus amphibius*, dans la plaine riveraine du lac Édouard, près de la baie de Mwiga. Le sol est couvert par *Panicum repens*. A remarquer les plaques dénudées à côté de la piste : elles ne sont pas causées par le pâturage des hippopotames. 8 février 1959.

Photo : K. CURRY-LINDAHL.

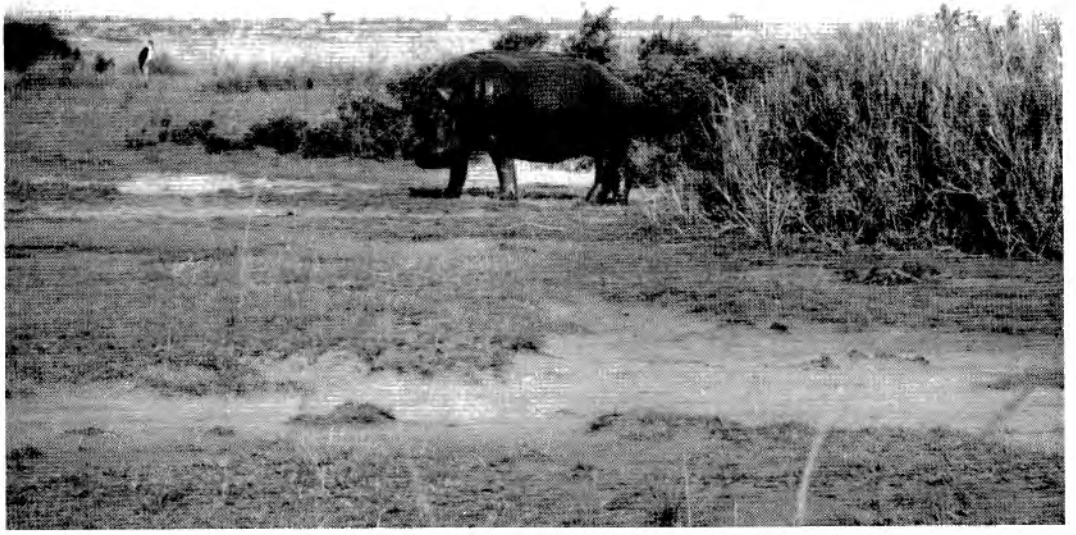

FIG. 3. — Herbe courte à *Panicum repens* près du lac Édouard à Vitshumbi.

FIG. 4. — Piste d'*Hippopotamus amphibius* près du lac Édouard.

PLANCHE III

EXPLICATION DES FIGURES.

Habitats au Parc National Albert.

FIG. 5. — Savane parsemée de quelques bosquets isolés. Un *Panthera leo* lèche ses pattes. A l'arrière-plan, les volcans Muhavura, Gahinga et Sabinyo. Plaine de la Rwindi-Rutshuru. 5 avril 1952.

Photo: K. CURRY-LINDAHL.

FIG. 6. — Savane herbeuse à *Themeda triandra* et *Heteropogon contortus*. Au premier plan termitières, deux mâles et un individu partiellement caché d'*Adenota kob*. Plaine de la Rwindi. 7 février 1959.

Photo: K. CURRY-LINDAHL.

FIG. 5. — Savane à *Themeda triandra* dans la plaine des Rwindi-Rutshuru.

FIG. 6. — Savane à *Themeda triandra* et *Heteropogon contortus* dans la plaine de la Rwindi.

PLANCHE IV

EXPLICATION DES FIGURES.

Habitats au Parc National Albert.

FIG. 7. — Savane à *Imperata cylindrica* dans la plaine de la Rwindi, entre les rivières Muhaha et Rwindi. A l'arrière-plan, les monts Mitumba. Habitat de *Lemniscomys striatus*. 7 janvier 1959.

Photo: K. CURRY-LINDAHL.

FIG. 8. — Savane à *Imperata cylindrica* en période de floraison. Plaine de la Semliki. 11 avril 1952.

Photo: K. CURRY-LINDAHL.

FIG. 7. — Savane à *Imperata cylindrica* dans la plaine de la Rwindi.

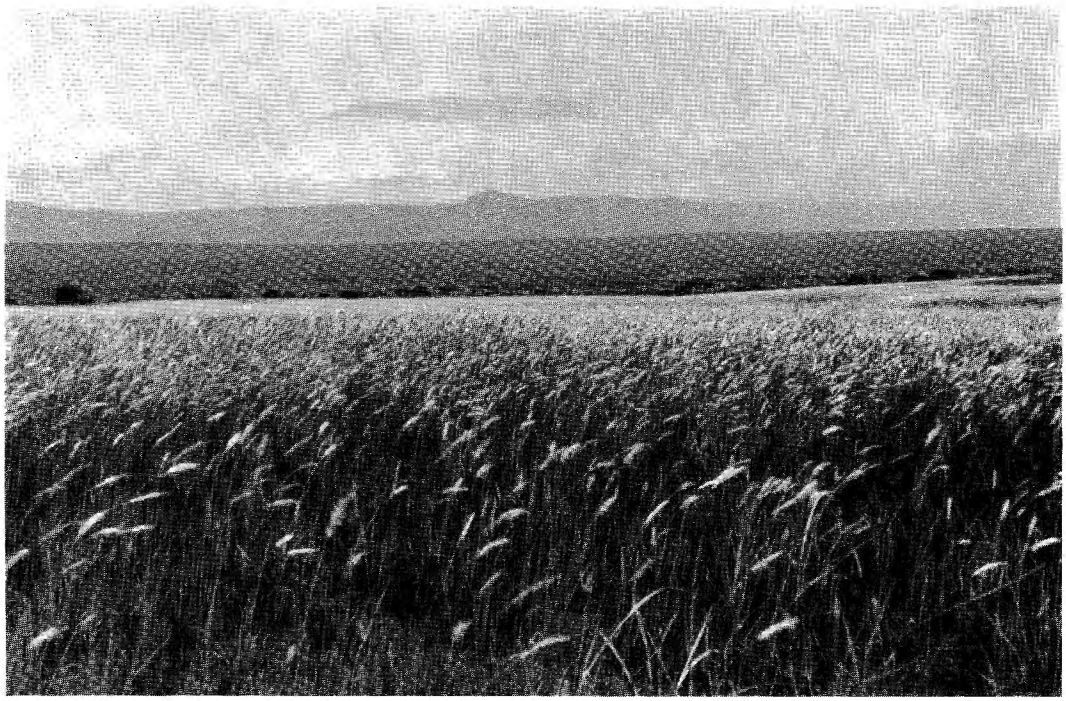

FIG. 8. — Savane à *Imperata cylindrica* dans la plaine de la Semliki.

PLANCHE V

EXPLICATION DES FIGURES.

Habitats au Parc National Albert.

FIG. 9. — *Euphorbia calycina* isolée dans la savane herbeuse. Au sommet, un *Lophaëtus occipitalis*. Ces arbres sont souvent utilisés comme perchoirs par des rapaces et autres oiseaux et jouent un certain rôle dans leurs territoires. Plaine de la Rwindi-Rutshuru. 9 janvier 1959.

Photo: K. CURRY-LINDAHL.

FIG. 10. — Savane boisée à *Acacia* dans la plaine de la Semliki. Biotope de *Loxodonta africana*. 11 avril 1952.

Photo: K. CURRY-LINDAHL.

FIG. 9. — *Euphorbia calycina* dans la plaine des Rwindi-Rutshuru.

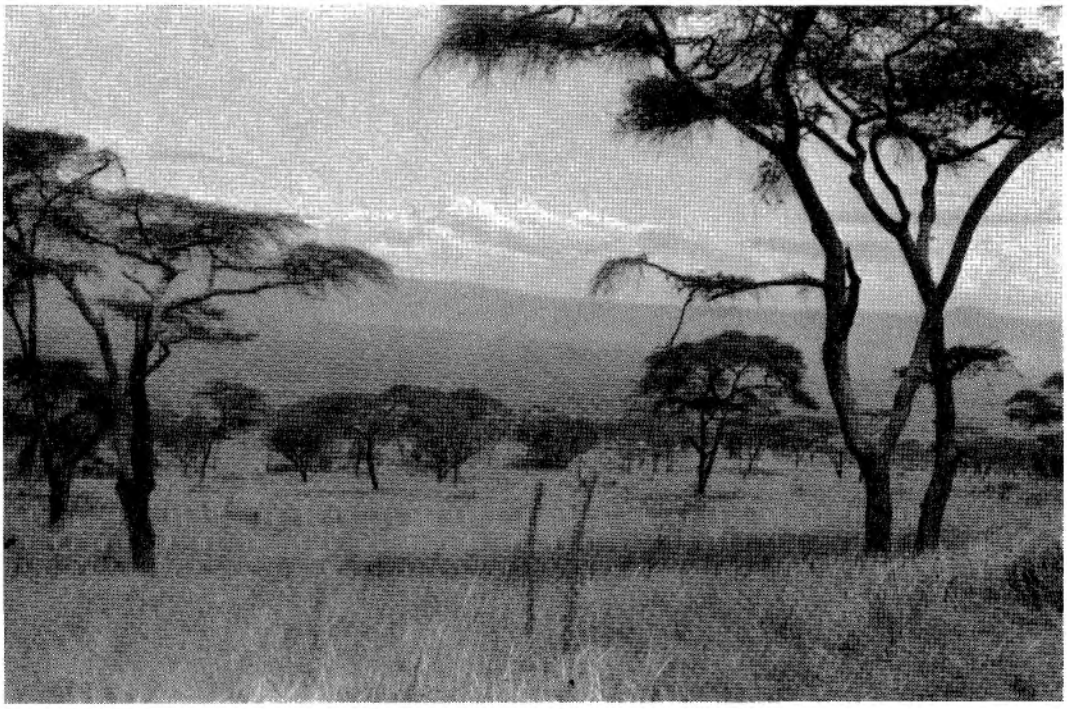

FIG. 10. — Savane boisée à *Acacia*.

PLANCHE VI

EXPLICATION DES FIGURES.

Habitats au Parc National Albert.

FIG. 11. — La rivière Rutshuru entre Bugugu et Kanyero. Les bords sont couverts par un rideau forestier de *Phoenix reclinata* parmi lesquels se mêlent des arbustes comme *Sesbania* et *Pluchea*. *Loxodonta africana* à droite et *Hippopotamus amphibius* dans la rivière. 1er avril 1952.

Photo: K. CURRY-LINDAHL.

FIG. 12. — Aspect de la galerie forestière le long de la Haute-Semliki à 25 km de l'exutoire du lac Édouard. Forêt et massif d'arbustes denses couvrent les falaises. Au second plan, au milieu, un *Loxodonta africana*. 23 janvier 1959.

Photo: K. CURRY-LINDAHL.

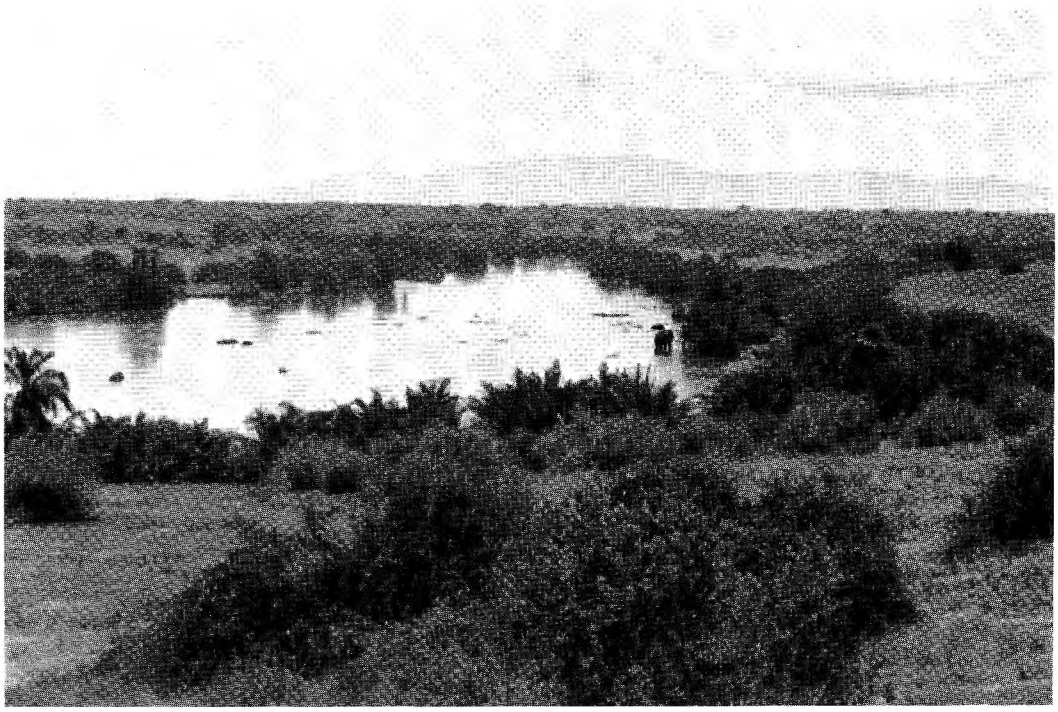

FIG. 11. — Galerie forestière à *Phoenix reclinata* le long de la rivière Rutshuru.

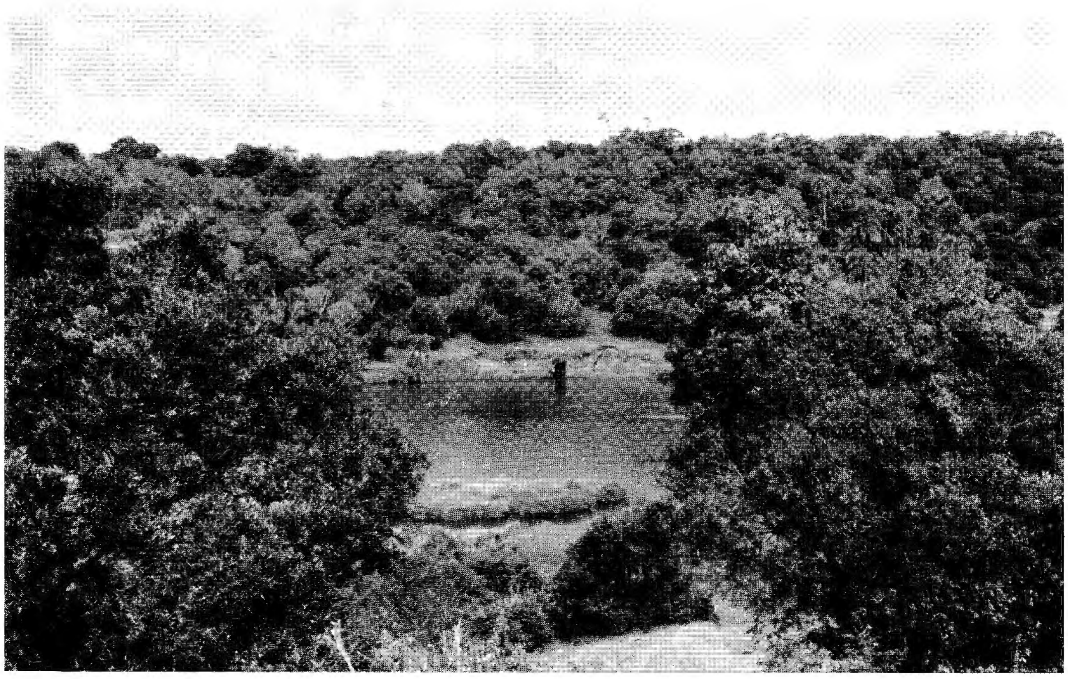

FIG. 12. — Galerie forestière le long de la rivière Semliki.

PLANCHE VII

EXPLICATION DES FIGURES.

Habitats au Parc National Albert.

FIG. 13. — Marais autour du déversoir du lac Edouard dans la rivière Semliki. Habitat d'élection des oiseaux aquatiques et d'*Hippopotamus amphibius*. Au-dessus de la falaise, la plaine de la Semliki. Ishango. 20 janvier 1959.

Photo: K. CURRY-LINDAHL.

FIG. 14. — Marais de la rivière Molindi près de son confluent avec la Rutshuru. Biotope de *Phalacrocorax carbo* et *Ardeola ralloides*. 12 février 1959.

Photo: K. CURRY-LINDAHL.

FIG. 13. — Marais de la rivière Semliki à Ishango.

FIG. 14. — Marais de la rivière Molindi.

PLANCHE VIII

EXPLICATION DES FIGURES.

Habitats au Parc National Albert.

FIG. 15. — Coulée de lave de l'année 1948 dans la plaine des volcans Virunga près du lac Kivu. Recolonisation de fougères humicoles. Biotope, en mars 1952, d'*Agama atricollis*. En février 1959 cette espèce ne fut pas trouvée. 30 février 1959.

Photo: K. CURRY-LINDAHL.

FIG. 16. — Coulée de lave de l'année 1938, dans la plaine des volcans Virunga, près du lac Kivu. Ici phanérogames et cryptogames assurent le repeuplement végétal et influencent positivement le nombre des insectes et de leurs prédateurs; en 1952, par exemple, *Agama atricollis*. 20 février 1959.

Photo: K. CURRY-LINDAHL.

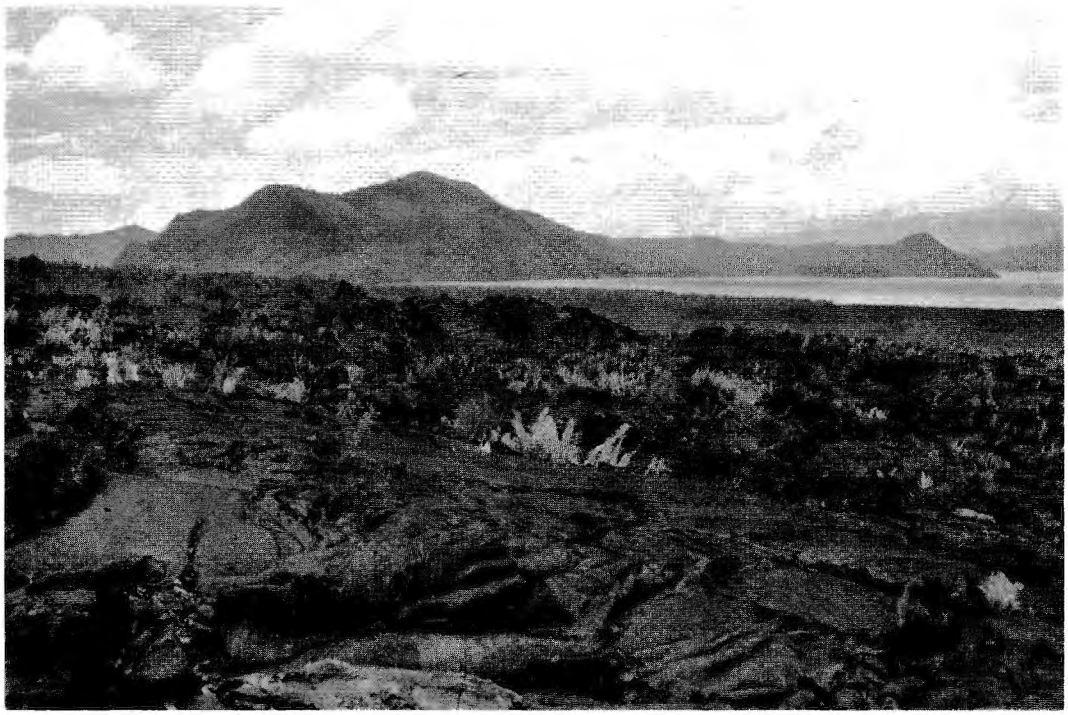

FIG. 15. — Coulée de lave dans la plaine des volcans Virunga près du lac Kivu.

FIG. 16. — Coulée de lave dans la plaine des volcans Virunga près du lac Kivu.

PLANCHE IX

EXPLICATION DES FIGURES.

Habitats au Parc National Albert.

FIG. 17. — Petit lac dans une clairière de la forêt à *Hagenia abyssinica*, à Kabara, dans la selle entre les volcans Karisimbi et Mikeno. Altitude 3.200 m. L'herbe au premier plan de la pelouse est pâturée par *Syncerus caffer*. Également biotope de *Cephalophus nigrifrons*, *Tringa ochropus* et *Buteo oreophilus*. 13 février 1959.

Photo: K. CURRY-LINDAHL.

FIG. 18. — Forêt d'*Hagenia abyssinica*, à Kabara, au volcan Karisimbi. Altitude 3.200 m. Au fond le sommet du même volcan, altitude 4.507 m. Biotope de *Gorilla gorilla*, *Panthera pardus* et *Dendrohyrax arboreus*. 13 février 1959.

Photo: K. CURRY-LINDAHL.

FIG. 17. — Petit lac dans la selle entre les volcans Karisimbi et Mikeno.

FIG. 18. — Forêt à *Hagenia abyssinica* au flanc du Karisimbi.

PLANCHE X

EXPLICATION DES FIGURES.

Habitats au Parc National Albert.

FIG. 19. — Aspect de la forêt à *Hagenia abyssinica* au Karisimbi, à environ 3.200 m. A remarquer l'abondance de groupements épais d'épiphytes. Beaucoup de lumière pénètre le canopy et permet une sous-végétation luxuriante formée par *Rumex*, *Geranium*, *Stachys*, *Chaerefolium* et *Peucedanum*. Probablement le biotope optimale de *Gorilla gorilla*. Habitat fréquenté également par *Columba arquatrix* et *Ruwenzorornis johnstoni*. 13 février 1959.

Photo: K. CURRY-LINDAHL.

FIG. 20. — Marécage à *Carex runssoroensis* sur le plateau de Rukumi au volcan Karisimbi. Altitude 3.500 m. Au second plan, *Erica arborea* et *Philippia johnstoni*; au fond, le sommet du Mikeno (4.437 m). Biotope de *Syncerus caffer*, *Cephalophus nigrifrons*, *Capella gallinago*, *Saxicola torquata*. 15 février 1959.

Photo: K. CURRY-LINDAHL.

FIG. 19. — Forêt à *Hagenia abyssinica* au Karisimbi.

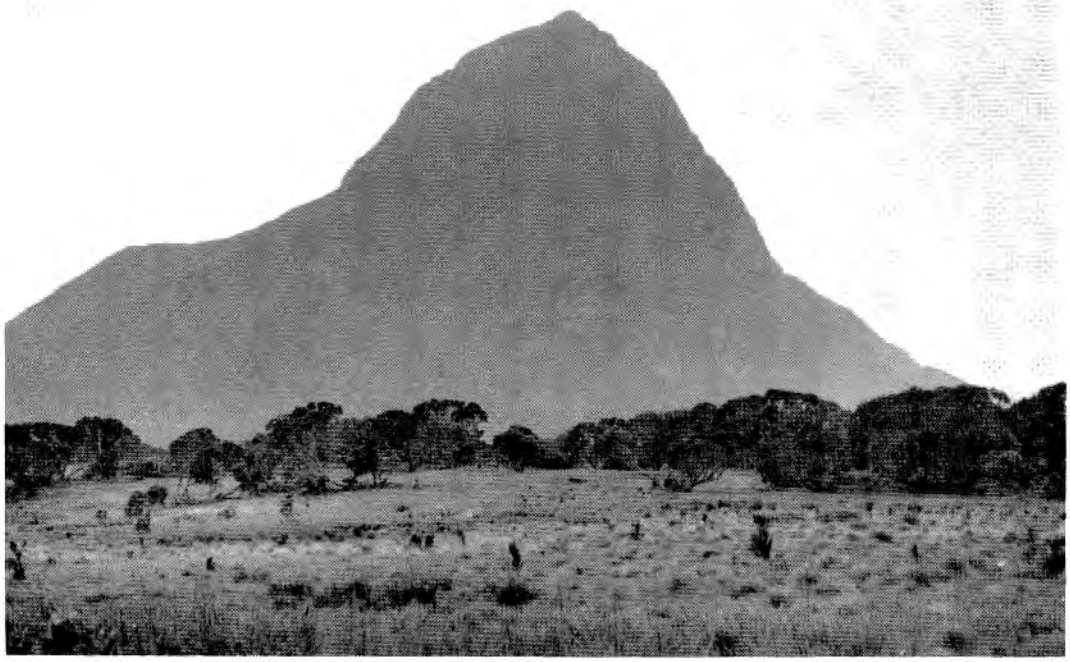

FIG. 20. — Marais à *Carex runssoroensis* sur le plateau de Rukumi au Karisimbi.

PLANCHE XI

EXPLICATION DES FIGURES.

Habitats au Parc National Albert.

FIG. 21. — Lave récente dans le cratère du Nyamuragira. A remarquer la végétation, qui réapparaît sur le sol de lave, resté intact depuis la dernière coulée. 17 février 1959.

Photo: K. CURRY-LINDAHL.

FIG. 22. — Colonisation végétale sur une plateforme supérieure de lave dans le cratère du Nyamuragira. Biotope d'*Anthus novaezeelandiae* et *Serinus striolatus*. 17 février 1959.

Photo: K. CURRY-LINDAHL.

FIG. 21. — Le cratère du Nyamuragira.

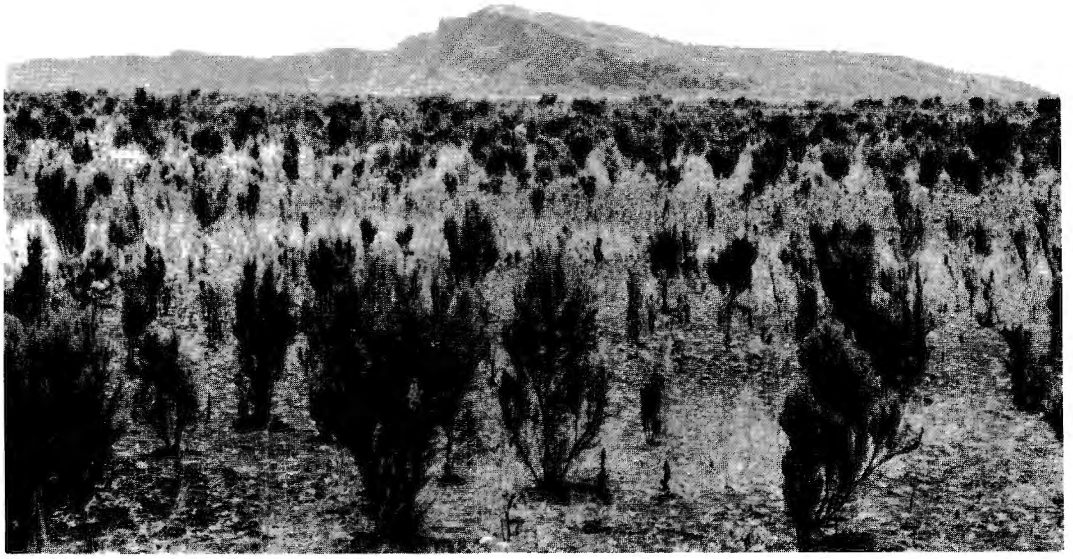

FIG. 22. — Plateforme supérieure du cratère du Nyamuragira.

PLANCHE XII

EXPLICATION DES FIGURES.

Habitats au Parc National Albert.

FIG. 23. — Une partie du massif du Ruwenzori vu de Mutwanga, au crépuscule, le 11 avril 1952.

Photo : K. CURRY-LINDAHL.

FIG. 24. — La forêt ombrophile de montagne près de la vallée de la Butahu au Ruwenzori. Altitude environ 1.800 m. On distingue *Musa ensete* et *Cyathea manniana*. Biotope de *Pan troglodytes*, *Colobus abyssinicus*, *Panthera pardus*, *Platysteira cyanea*, *Pogonocichla stellata*, *Seicercus umbrovirens* et *Atheris nitschei*. 13 avril 1952.

Photo : K. CURRY-LINDAHL.

FIG. 23. — Partie du massif du Ruwenzori à Mutwanga.

FIG. 24. — Aspect de la forêt ombrophile de montagne sur le versant ouest du Ruwenzori.

PLANCHE XIII

EXPLICATION DES FIGURES.

Habitats au Parc National Albert.

FIG. 25. — La forêt ombrophile de montagne au Ruwenrozi immédiatement sous la zone des bambous *(Arundinaria alpina)*. Altitude environ 2.200 m. Une photo, prise sept ans plus tôt du même endroit (cf. CURRY-LINDAHL, 1956 A, planche XIX), montre à peine quelques changements de la végétation. Biotope de *Dendrohyrax arboreus*, *Psalidoprocne holomaelena* et *Corvultur albicollis*. 25 janvier 1959.

Photo: K. CURRY-LINDAHL

FIG. 26. — L'étage des bruyères arborescentes, formé par *Erica arborea* et *Philippia johnstoni* mêlées avec quelques *Hypericum ruwenzoriense*, s'étend entre environ 2.500 et 3.700 m d'altitude. Biotope de *Serinus striolatus*, *Columba arquatrix*, *Tauraco schüttii* (parties basses de l'*Ericetum*) et *Ruwenzorornis johnstoni*. 26 janvier 1959.

Photo: K. CURRY-LINDAHL.

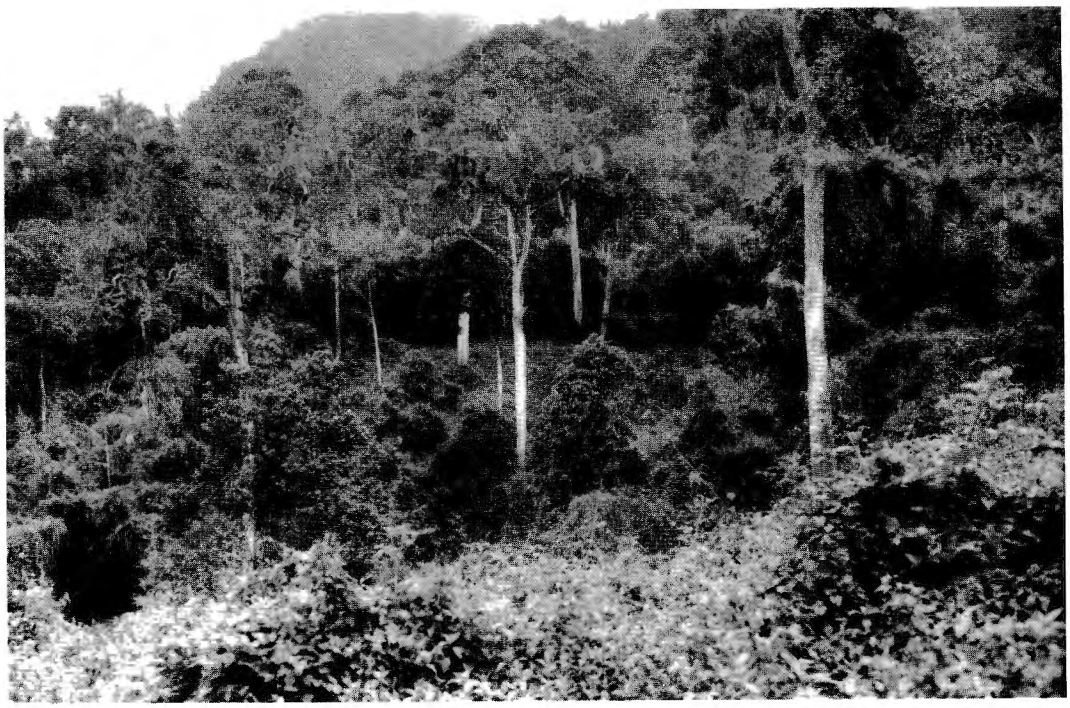

FIG. 25. — Forêt ombrophile de montagne sur le versant ouest du Ruwenzori.

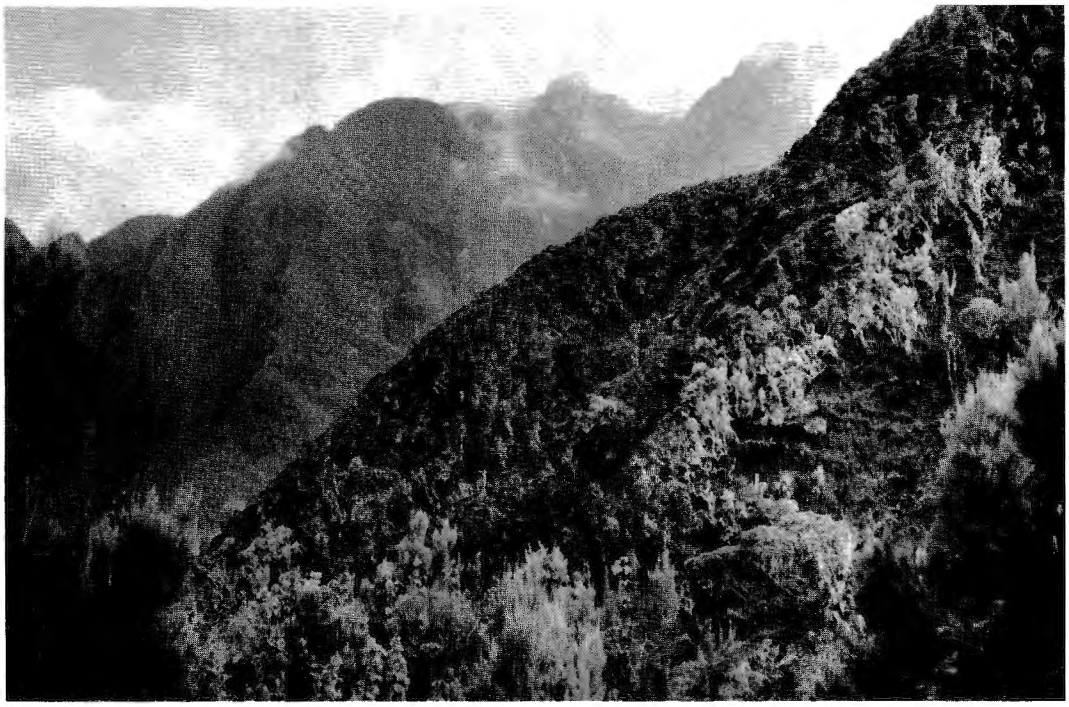

FIG. 26. — Forêt à *Erica arborea* et *Philippia johnstoni* sur le versant ouest du Ruwenzori.

PLANCHE XIV

EXPLICATION DES FIGURES.

Habitats au Parc National Albert.

FIG. 27. — Aspect de la forêt de *Philippia johnstoni* et *Erica arborea*, garnie d'*Usnea*, au Ruwenzori. L'altitude est d'environ 3.100 m, où l'*Ericetum* est encore riche en espèces végétales mais assez pauvre en espèces animales, notamment en vertébrés. 29 janvier 1959.

Photo: K. CURRY-LINDAHL.

FIG. 28. — Tapis spongieux de *Sphagnum*, troncs d'arbres tombés d'Ericacées mortes et *Usnea*, épiphytes filamenteux, constituent le milieu en dessous du « canopy » de l'*Ericetum*. Versant du Ruwenzori à 3.500 m d'altitude. Biotope de *Dendrohyrax arboreus*. 12 avril 1952.

Photo: K. CURRY-LINDAHL.

FIG. 27. — Aspect de l'*Ericetum* sur le versant ouest du Ruwenzori.

FIG. 28. — Tapis de *Sphagnum* dans l'*Ericetum* sur le versant ouest du Ruwenzori.

PLANCHE XV

EXPLICATION DES FIGURES.

Habitats au Parc National Albert.

FIG. 29. — Association de *Philippia*, *Erica*, *Lobelia*, *Senecio* et *Helichrysum* à environ 4.100 m d'altitude au Ruwenzori. 13 avril 1952.

Photo : K. CURRY-LINDAHL.

FIG. 30. — Vue du Ruwenzori au-dessus de la plaine de la Semliki, située plus de 3.000 m plus bas. Altitude environ 4.100 m. Au premier plan, *Lobelia*, *Senecio* et *Philippia*. 13 avril 1952.

Photo : K. CURRY-LINDAHL.

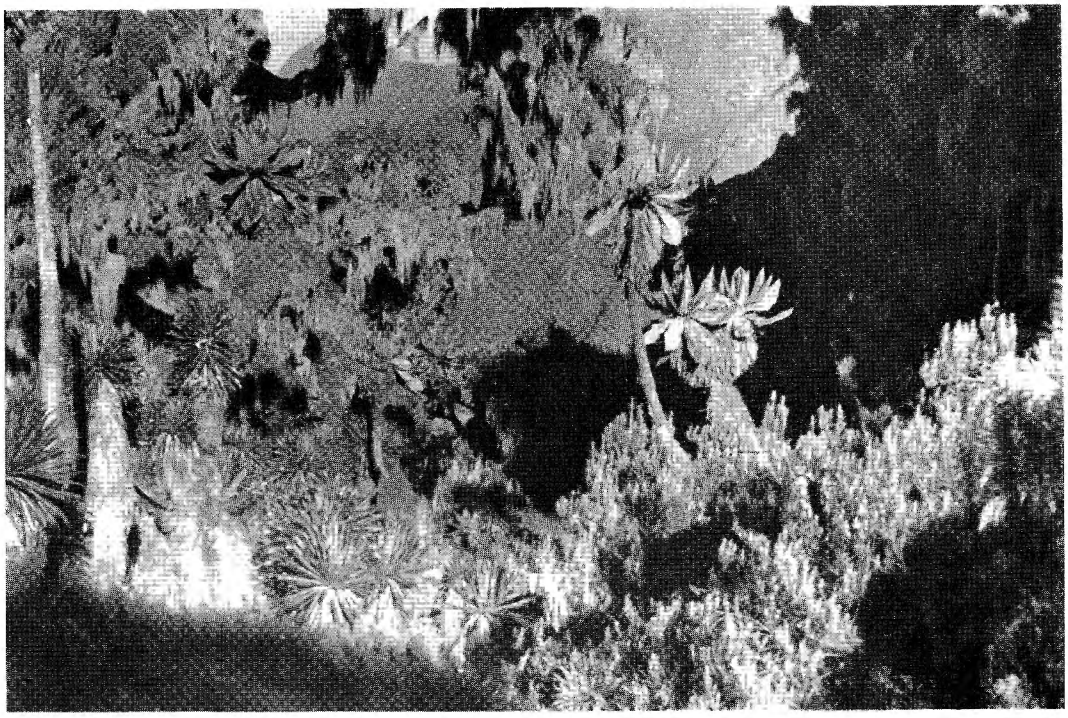

FIG. 29. — Étage alpin au Ruwenzori.

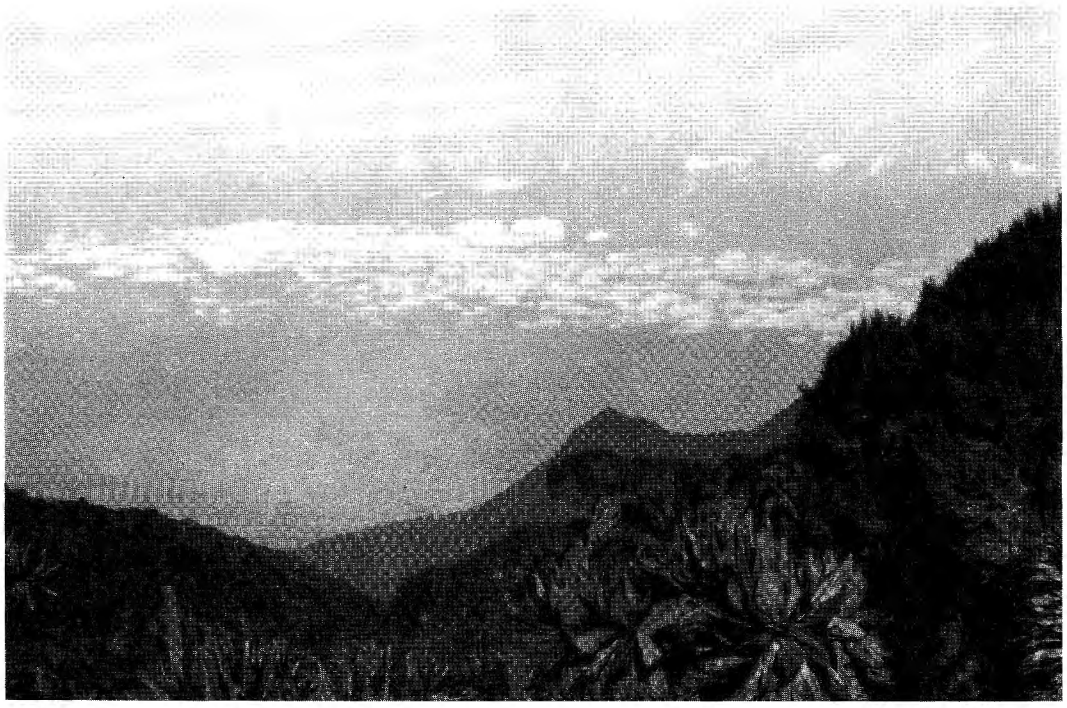

FIG. 30. — Pente ouest du Ruwenzori vers la plaine de la Semliki.

PLANCHE XVI

EXPLICATION DES FIGURES.

Habitats au Parc National Albert.

FIG. 31. — Le lac Gris à 4.316 m d'altitude au Ruwenzori. Le lac est situé sous le glacier Stanley. Association de *Senecio*. Biotope de *Dendrohyrax arboreus* et *Nectarinia johnstoni*. Altitude environ 4.360 m. 28 janvier 1959.

Photo : K. CURRY-LINDAHL.

FIG. 32. — Forêt de *Senecio* au Ruwenzori près du glacier Stanley. Éléments d'*Helichrysum stuhlmanni* à l'avant-plan. Biotope de *Dendrohyrax arboreus* et *Nectarinia johnstoni*. Altitude environ 4.400 m. 28 janvier 1959.

Photo : K. CURRY-LINDAHL.

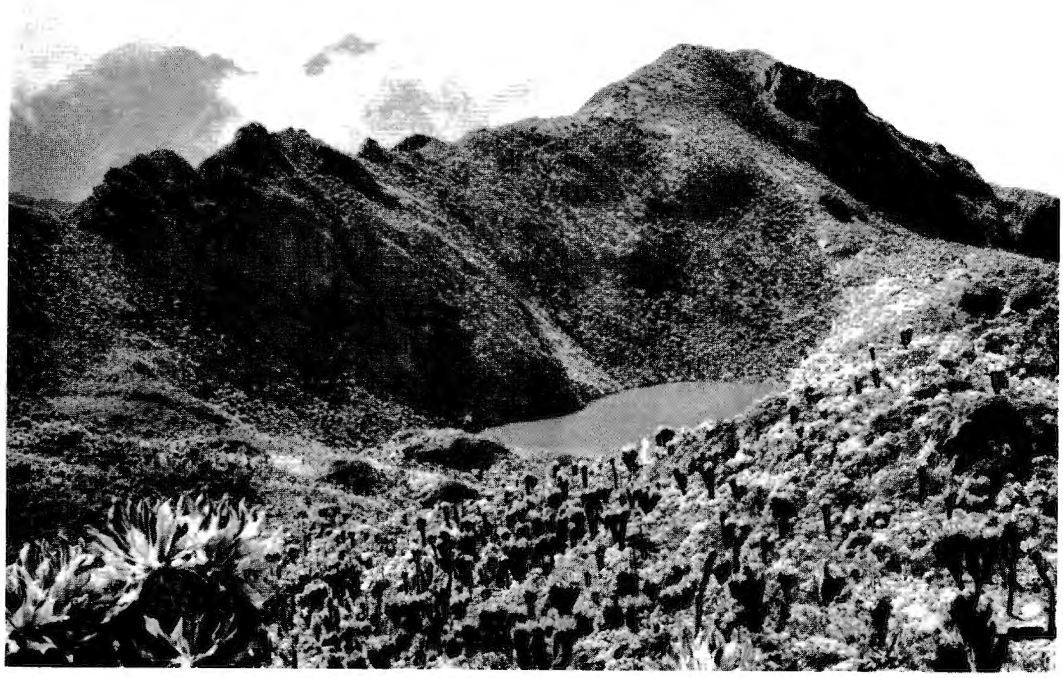

FIG. 31. — Le lac Gris au Ruwenzori.

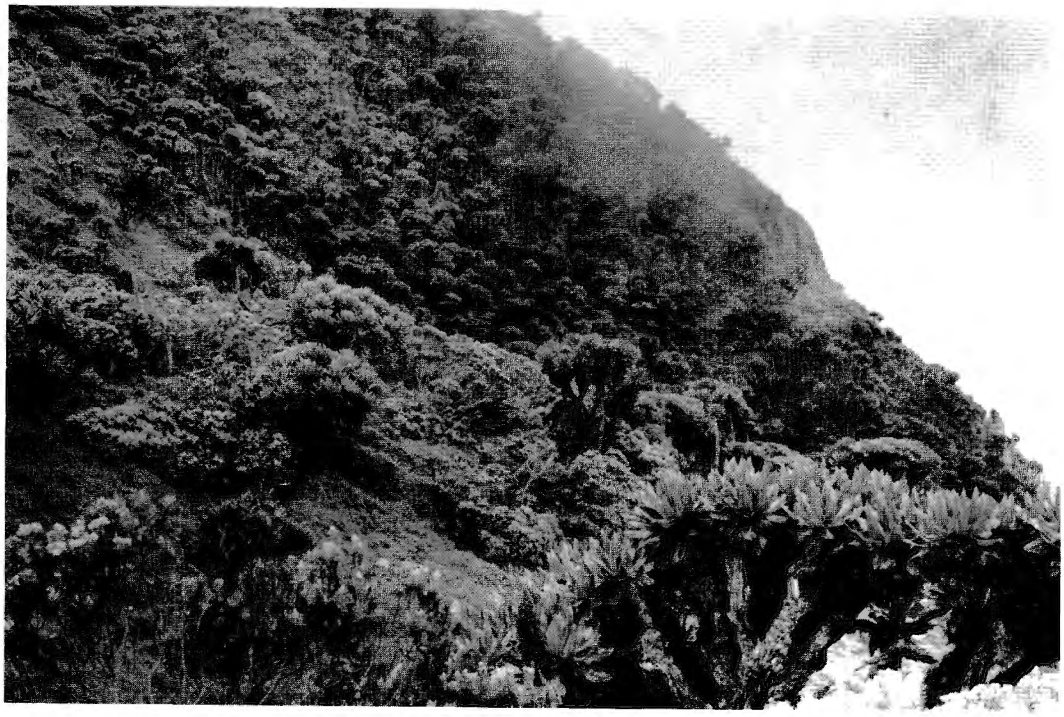

FIG. 32. — Forêt de *Senecio* au Ruwenzori.

PLANCHE XVII

EXPLICATION DES FIGURES.

Habitats au Parc National Albert.

FIG. 33. — Association de *Senecio*, *Helichrysum stuhlmanni* et *Carex runssoroensis* au-dessus de Kiondo au Ruwenzori. Altitude environ 4.500 m. Biotope de *Dendrohyrax arboreus* et *Nectarinia johnstoni*. 27 janvier 1959.

Photo: K. CURRY-LINDAHL.

FIG. 34. — Association de *Senecio*, *Helichrysum stuhlmanni* et *Alchemilla* au-dessus de Kiondo au Ruwenzori. Altitude environ 4.450 m. 28 janvier 1959.

Photo: K. CURRY-LINDAHL.

FIG. 33. — Étage alpin au Ruwenzori.

FIG. 34. — Étage alpin au Ruwenzori.

PLANCHE XVIII

EXPLICATION DES FIGURES.

Habitats au Parc National Albert.

FIG. 35. — Glaciers et cols du massif Stanley au Ruwenzori. A gauche, le glacier Stanley. Le pic visible le plus haut est le Moebius (4.925 m). Les pointes Hélène (4.984 m) et Savoie (5.005 m) sont cachées par les nuages. Cette partie du massif est située en Uganda mais est photographiée du Congo. Altitude 4.116 m. 13 avril 1952.

Photo: K. CURRY-LINDAHL.

FIG. 36. — Petit lac glaciaire en dessous et entre les glaciers Alexandra et Stanley. Le pic Albert (5.018 m) est partiellement caché par les nuages. Altitude environ 4.400 m. *Dendrohyrax arboreus* monte, au moins temporairement, jusqu'à cette hauteur. 28 janvier 1959.

Photo: K. CURRY-LINDAHL.

FIG. 35. — Glacier du massif Stanley au Ruwenzori.

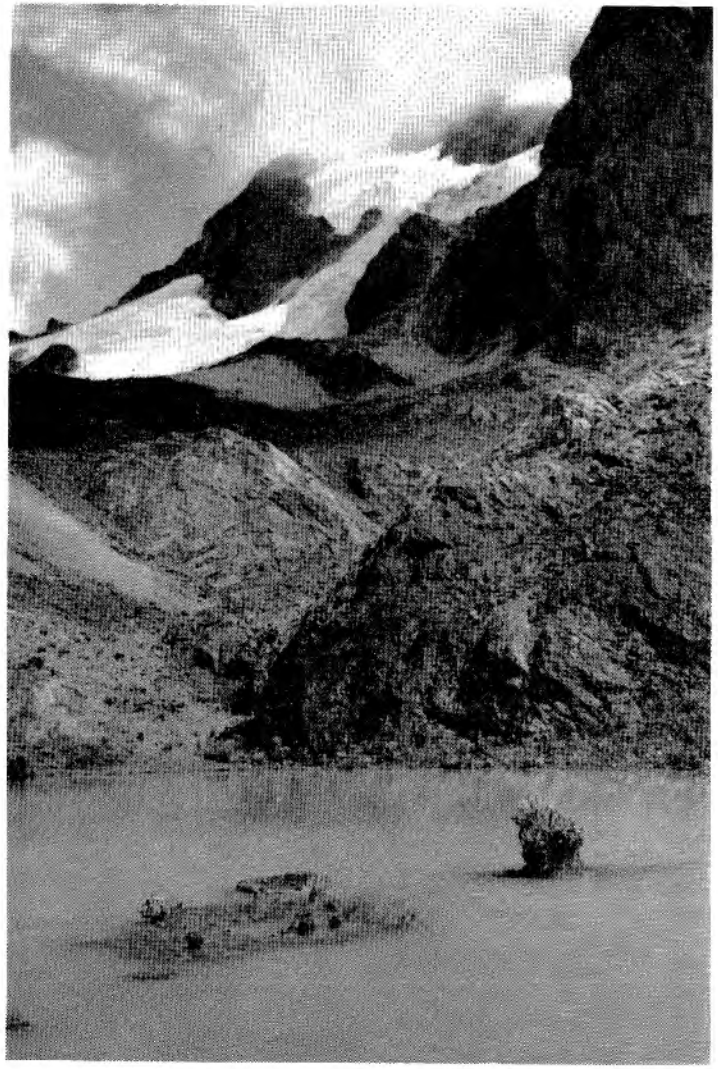

FIG. 36. — Lac glaciaire en dessous du glacier et du pic Alexandra au Ruwenzori.

PLANCHE XIX

EXPLICATION DES FIGURES.

Habitats au Parc National Albert.

FIG. 37. — Glacier Stanley, pics Albert (5.088 m) et Alexandra (5.018 m). Ce dernier cache la pointe culminante du massif du Ruwenzori, le pic Marguerite (5.119 m). Récession remarquable du glacier en comparaison avec la situation en avril 1952. Altitude environ 4.600 m. 28 janvier 1959.

Photo: K. CURRY-LINDAHL.

FIG. 38. — Glacier Stanley au sommet du pic Alexandra (5.018 m). Il y a peu de dégel visible et presque pas d'écoulement en dessous de la glace. La réduction du volume du glacier semble avoir lieu essentiellement par l'évaporation de la surface. Altitude environ 4.800 m. 28 janvier 1959.

Photo: K. CURRY-LINDAHL

FIG. 37. — Glacier Stanley et pic Alexandra au Ruwenzori.

FIG. 38. — Glacier Stanley et pic Alexandra au Ruwenzori.

PLANCHE XX

EXPLICATION DES FIGURES.

Habitats au Parc National de la Kagera.

FIG. 39. — Savane herbeuse à *Hyparrhenia* et *Themeda triandra* avec *Acacia*. Les six ongulés pâturant sont des *Hippotragus equinus*. Plaine Uruwita. 11 avril 1959.

Photo : K. CURRY-LINDAHL.

FIG. 40. — Savane boisée à *Acacia* dans la plaine Kamakaba. L'oiseau est un *Trigonoceps occipitalis*. 9 avril 1959.

Photo : K. CURRY-LINDAHL.

FIG. 39. — Savane herbeuse dans la plaine Uruwita.

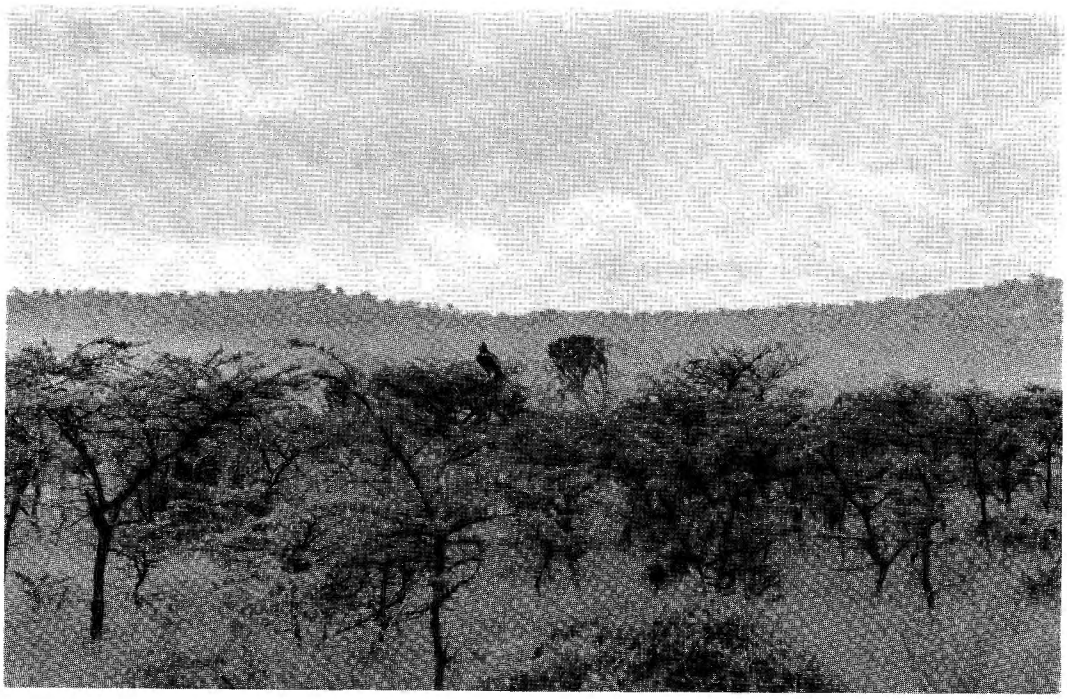

FIG. 40. — Savane boisée à *Acacia* dans la plaine Kamakaba.

PLANCHE XXI

EXPLICATION DES FIGURES.

Habitats au Parc National de la Kagera.

FIG. 41. — Savane boisée à *Acacia* entrecoupée de bosquets xérophiles près de Gihinga. Biotope d'*Aepyceros melampus*. 11 avril 1959.

Photo: K. CURRY-LINDAHL.

FIG. 42. — Savane à *Acacia* près du lac Mihindi dans la vallée de la Kagera. Biotope de *Damaliscus korrigum*, *Equus burchelli* et *Kobus defassa*. 10 avril 1959.

Photo: K. CURRY-LINDAHL.

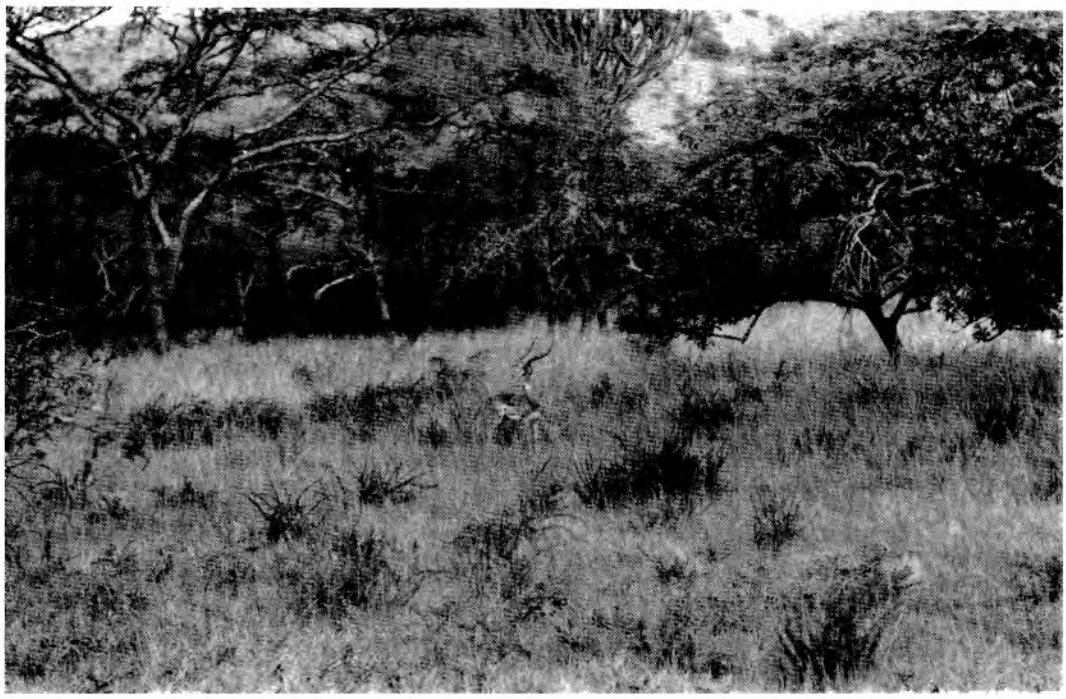

FIG. 41. — Savane boisée et bosquets xérophiles près de Gihinga.

FIG. 42. — Savane à *Acacia* au lac Mihindi.

PLANCHE XXII

EXPLICATION DES FIGURES.

Habitats au Parc National de la Kagera.

FIG. 43. — L'immense marais Kadjumbura à *Cyperus papyrus* enveloppant la rivière Kagera. Biotope de *Limnotragus spekei*, *Balaeniceps rex* et *Erythrocnus rufiventris*. 10 avril 1959.

Photo: K. CURRY-LINDAHL.

FIG. 44. — Grande île au lac Mihindi. Biotope d'*Alopochen aegyptiacus*, *Motacilla flava* et *Crocodilus niloticus*. 10 avril 1959.

Photo: K. CURRY-LINDAHL.

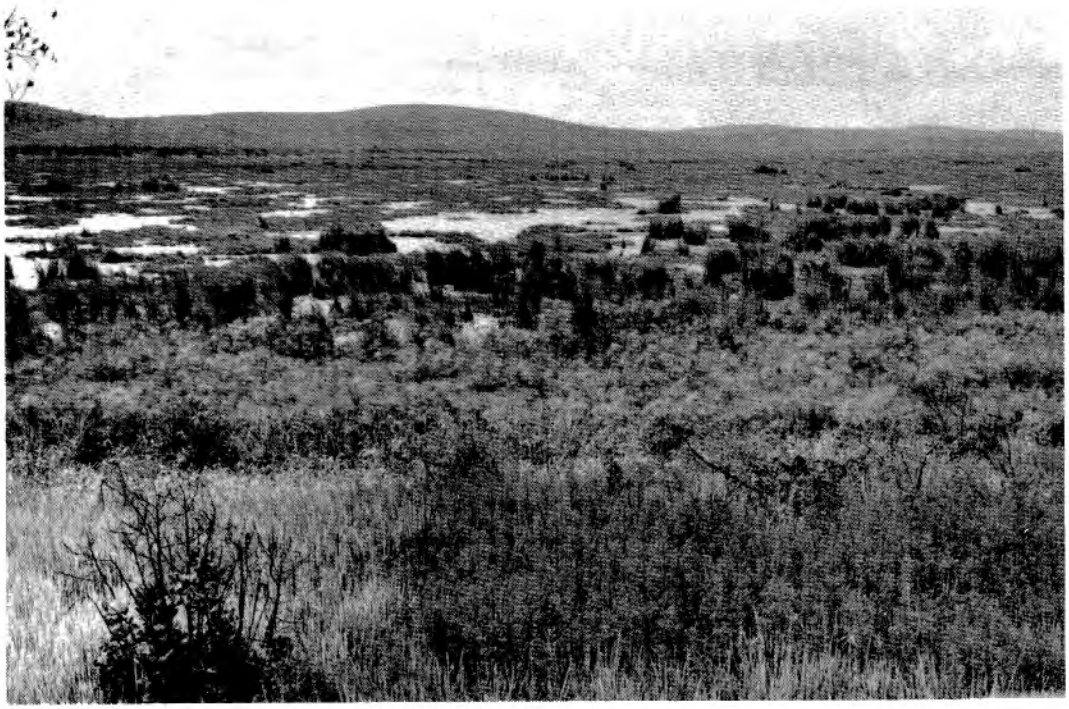

FIG. 43. — Marais Kadjumbura dans la vallée de la Kagera.

FIG. 44. — Grande île du lac Mihindi.